

敷砂を緩衝材とするPC多主桁の重錐落下衝撃実験

ドーピー建設工業(株) 正員 竹本 伸一
 室蘭工業大学 正員 菅田 紀之
 室蘭工業大学 正員 松岡 健一
 北海道開発局 正員 中野 修

1はじめに

落石覆工の設計は落石対策便覧¹⁾に基づいて行われ、断面力は二次元骨組構造として静的解析により算出されている。また、PC落石覆工では、敷砂を緩衝材とする場合には、大きな荷重分散効果を期待することができず、ほぼ全衝撃荷重が桁一本に載荷される状態に対して設計がなされている。しかしながら、衝撃挙動は静的挙動とは異なることや、頂版が多主桁で構成されていることによる立体的な構造の効果が期待できることなどが上げられ、衝撃荷重載荷時の詳細な検討によって、この種の構造物のより合理的な設計法を確立することが可能なものと考えられる。

本論文では、PC落石覆工の耐衝撃設計に関する基礎資料を得ることを目的として、層厚90cmの敷砂を緩衝材とする単純支持されたPC多主桁の重錐落下衝撃実験を行い、その動的弾性挙動について検討を行った。

2実験の概要

実験は、図-1に示すPC多主桁上に層厚90cmの敷砂を設置し、重量3tfの重錐(直径100cm、底部R80cmの球底)を高さ5mおよび10mから自由落下させて行っている。測定項目は、重錐の加速度および桁補強筋の84点における歪応答波形である。

PC桁は、重量3tfの落石が高さ10mから桁上の敷砂に自由落下するものとし、敷砂材の敷厚は90cm、ラーメン定数は $\lambda = 100 \text{ tf/m}^2$ として落石対策便覧¹⁾に従い設計されている。桁の製作に用いた材料は、設計基準強度750kgf/cm²のコンクリート、SBPR 930/1080φ26のPC鋼棒、SD295Aの異形棒鋼である。主桁のプレストレスは9本のPC鋼棒によって導入されている。桁内の有効プレストレスおよび各荷重段階における応力度を表-1に示す。桁の横縫めはフランジ部に1m間隔に配置されたPC鋼棒によって行われている。なお、実験開始時における現場養生のコンクリート円柱供試体の圧縮強度は777kgf/cm²、弾性係数は約 $3.8 \times 10^5 \text{ kgf/cm}^2$ であった。

本実験で用いた敷砂材は、単位体積重量1.61tf/m³、表乾比重2.62、粗粒率2.74、均等係数5.72、曲率係数0.86の栗丘産細骨材である。実験時の含水比および相対密度はそれぞれ6.5%、61.3%であった。

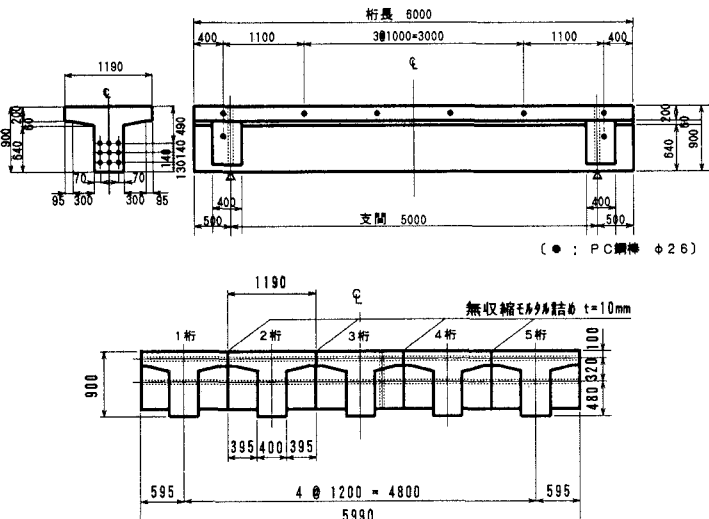


図-1 PC多主桁

表-1 桁の有効プレストレスおよび各荷重段階における応力度

	桁上緯	上端筋位置 (上緯から 5 cm)	下端筋位置 (下緯から 5.5 cm)	桁下緯
有効プレストレス (kgf/cm ²)	17.4 (49.7 μ)	7.9 (22.6 μ)	-142.7 (-407.7 μ)	-153.1 (-437.4 μ)
死荷重による 応力(kgf/cm ²)	-8.6 (-24.6 μ)	-7.4 (-21.1 μ)	12.9 (36.9 μ)	14.3 (40.9 μ)
合成応力 (kgf/cm ²)	8.8 (25.1 μ)	0.5 (1.5 μ)	-129.8 (-370.8 μ)	-138.8 (-396.5 μ)
設計衝撃力による 応力(kgf/cm ²)	-97.9 (-279.7 μ)	-83.4 (-238.2 μ)	146.4 (418.3 μ)	162.3 (463.7 μ)
合成応力 (kgf/cm ²)	-89.1 (-254.6 μ)	-82.9 (-236.7 μ)	16.6 (47.5 μ)	23.5 (67.2 μ)

()内は $E=3.5 \times 10^5 \text{ kgf/cm}^2$ としたときの歪を示している

3 実験結果と考察

実験は、重錐落下高、落下位置、横縫めの有無によって全7ケースの組合せで行われたが、本報告では重錐を3桁上に落とした場合の3ケースについて示す。実験の呼称として5m落下で横縫めをする場合をP5-3、横縫めをしない場合をP5-3F、10m落下で横縫めをする場合をP10-3とする。なお、P10-3に関しては数値のみを本文中に示す。

図-2は、P5-3およびP5-3Fの重錐衝撃力および主桁下端筋の歪波形である。重錐衝撃力は重錐の加速度に重錐質量を乗じて求めている。主桁番号は各波形の右肩に示している。重錐衝撃力の最大値はP5-3の場合53tf、P5-3Fの場合76tfであり、横縫め解放時の方が大きくなっている。P10-3の場合は118tfであり、設計衝撃荷重とほぼ等しい値になっている。P5-3の歪の最大値は3桁で100 μ であり、載荷点から離れるに従い順に約1/2の比率で減少している。P5-3Fの場合はP5-3と比べると歪が大きく、かつ中央の3本の桁に歪が集中しているようである。また、P10-3の3桁での歪の最大値240 μ は、設計衝撃力による歪の57%程度の値である。

図-3は、桁中央部に発生する曲げモーメントの総和および各桁の荷重分担率の経時変化である。荷重分担率は、桁中央部に発生する曲げモーメントの総和の最大値に対する各桁で分担する曲げモーメントの比として評価している。曲げモーメントの算定は、上下端筋歪を用い、歪の線形変化と配力筋、PC鋼棒の軸剛性を考慮した全断面有効と仮定して算定している。各図の上に最大応答時の荷重分担率を示している。P5-3では、3桁の分担率が39%になっている。また、中央の3本の桁で84%の荷重を分担している。P5-3Fでは、3桁で42%でありP5-3の結果と比較すると若干分担率が大きくなっている。また、中央の3本の桁の総分担率は89%である。P10-3における曲げモーメントの総和の最大値194tfmは、設計衝撃力(スパン方向1.8mの等分布荷重と仮定)によって発生する曲げモーメント132tfmの1.5倍、計測された重錐衝撃力より同様にして求めた曲げモーメント121tfmの1.6倍である。これは敷砂材を伝達して桁に作用する衝撃力が設計衝撃荷重あるいは重錐衝撃力よりも大きいことを示唆するものであると考えられる。

4 まとめ

PC落石覆工の耐衝撃設計に関する基礎的資料を得ることを目的として、緩衝材として敷砂を用いた場合のPC多主桁の衝撃実験を3tfの重錐を自由落下させることにより行った。その結果、敷砂材を設置した場合、桁の荷重分担率が40%程度であることが明らかになった。また、桁に発生する曲げモーメントが、重錐衝撃力より算出される曲げモーメントの1.6倍であることより、伝達衝撃力が重錐衝撃力よりも大きいことが示唆された。

参考文献

- 日本道路協会：落石対策便覧、日本道路協会、1983.7.

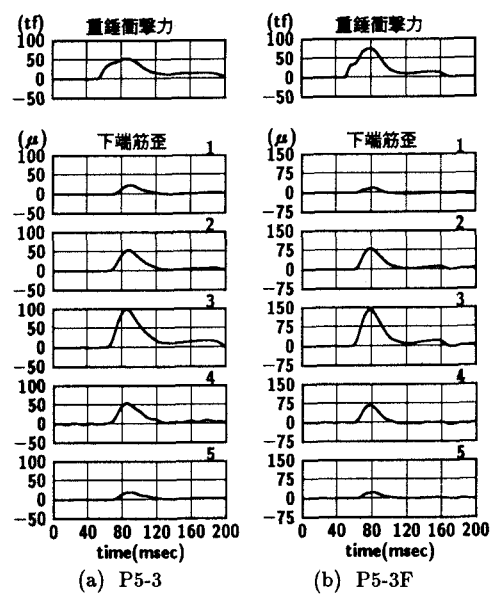


図-2 重錐衝撃力と下端筋歪

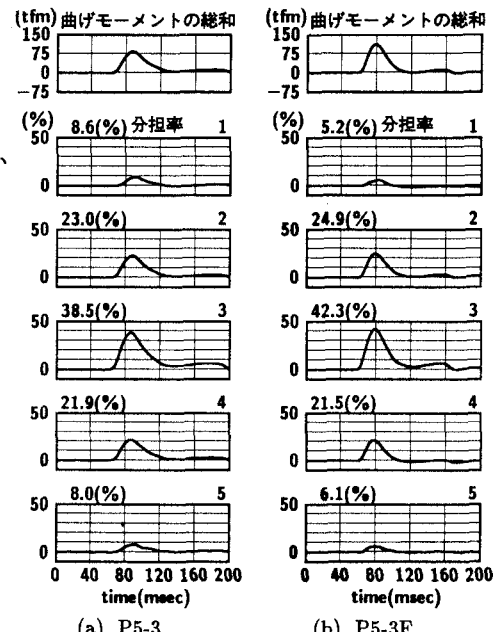


図-3 曲げモーメントの総和と荷重分担率